

SYMPLECTIC ZAMANDA SONLU FARKLAR TEKNIĐI (FDTD)'NİN KARARLIK SINIRININ İYİMSERLEŐTİRİLMESİ

Mehmet KUŐAF¹

Abdullah Y. ÖZTOPRAK²

^{1,2}Elektrik ve Elektronik MühendisliĐi Bölümü

Mühendislik Fakültesi

DoĐu Akdeniz Üniversitesi, Gazi MaĐusa, Mersin 10, K.K.T.C.

¹e-posta:mehmet.kusaf@emu.edu.tr

²e-posta:abdullah.oztoprak@emu.edu.tr

Anahtar sözcükler: Zamanda Sonlu Farklar TekniĐi (FDTD), Symplectic FDTD

ÖZETÇE

Bu bildiride, Symplectic Zamanda Sonlu Farklar TekniĐi (Symplectic FDTD) yönteminin performansını iyimserleőtiren yeni bir tasarım ortaya konulmaktadır. Symplectic FDTD yönteminde kararlılık sınırı ve sayısal saçılma, ζ işlevi tarafından kararlaőtırılır. ζ büyüme oranını etkileyen bir işlemdir. Büyüme oranının mutlak deĐerinin bire eőtit veya birden küçük olabilmesi için, ζ işlevinin de mutlak deĐerinin bire eőtit veya birden küçük olması gerekir. Bu bildiride, ζ işlevi bir birinci tür Chebyshev çok terimli olduĐu zaman, kararlılık sınırı ile üstel işleç katsayı miktarının doĐru orantılı olduĐu ispat ediliyor. Böylece üstel işleç katsayı adeti artırılarak kararlılık sınırı istenilen miktarda artırılabilir. Üç boyutlu ve dördüncü merteye uzay ayrıklaőtırması için, 2 üstel işleçli tasarımın (FDTD(2,4)) kararlılık sınırı 0.4948 dir, 10 üstel işleçli tasarımın kararlılık sınırı ise bu sayının 5 katı olan 2.4743'dür. Aynı Chebishev çokterimlisini oluşturabilmek için birden fazla üstel işleç katsayıları kümesi mevcuttur. Üstel işleç sayısı çift olduĐu zaman, çözüm kümelerinden bir tanesinde katsayılar birbirlerine eőtittir. Aynı uzay ve zaman artırımı ve işleç sayısı için, yeni tasarımın sayısal saçılımı daha önce yayınlanmış Symplectic FDTD tasarımının sayısal saçılımından daha düşüktür.

1. GİRİŐ

FDTD yöntemi elektromanyetik problemlerin çözümünde yaygın olarak kullanılmaktadır[1]. Alışlagelmiş Yee algoritmasında, uzay ve zaman ayrıklaőtırılması için ikinci merteye sonlu farkı kullanılmaktadır, bundan dolayı sayısal saçılma uzay artırımı büyük olduĐu hallerde kabul edilemeyecek bir hataya dönüşmektedir. EĐer daha düşük bir uzay artırımına gidilirse sayısal saçılma istenilen seviyeye düşürülebilir, bu durum hesaplama domeni boyutunun ve merkezi işlem birimi (CPU) zamanının kabul edilmez bir şekilde artmasına neden olur.

Yüksek mertebeli FDTD tasarımları[2,3], FDTD yöntemindeki sayısal saçılmayı düşürmek için geliştirilmiştir. Bu, daha büyük uzay artırımının kullanılmasını mümkün kılarken, hesaplama domeni boyutunun küçülmesine sebep olmaktadır. Bu özellik yüksek bilişimsel zamanın ve yüksek bilgisayar belleĐinin gereksinimini düşürür. Kaynak [4]'de Symplectic FDTD isimli yeni bir tasarım geliştirilmiştir. Bu tasarımda uzay ayrışımı için alışlagelmiş dördüncü merteye sonlu farkı ve zaman ayrışımı için ise dördüncü merteye Symplectic integral alıcı yaydırıcı (symplectic integrator propagator) kullanılmıştır. Sayısal bir tasarımın kararlı olabilmesi için büyüme oranının mutlak deĐerinin de bire eőtit veya birden küçük olması gerekir. ζ büyüme oranını etkileyen bir işlemdir, bu bildiride ζ işlevi bir birinci tür Chebyshev çokterimli haline dönüőtürülerek yüksek kararlılık sınırı elde edilmektedir. Elde edilen kararlılık sınırı daha önce yayınlamış [4] Symplectic FDTD tasarımından çok daha yüksektir. Bu tasarım ayrıca daha düşük sayısal saçılım hatası sağlamaktadır.

2. CHEBYSHEV ÇOKTERİMLİSİ KULLANILARAK ÜSTEL İŐLEÇ KATSAYILARININ BULUNMASI

Maxwell denklemleri homojen, kayıpsız ve kayıksız bir ortamda

$$\frac{\partial}{\partial t} U(t) = (A + B)U(t) \quad (1)$$

şeklinde ifade edilebilir. Burada $U(t) = (H_x H_y H_z E_x E_y E_z)^T$ matrisini göstermektedir, H_x, H_y ve H_z manyetik alan bileşenlerini; E_x, E_y , ve E_z ise elektrik alan bileşenlerini ifade etmektedir. A ve B aŐaĐdaki türevsel işleç matrisleridir,

$$\mathbf{A} = \begin{pmatrix} \{\mathbf{0}\} & -\mu^{-1}\mathbf{R} \\ \{\mathbf{0}\} & \{\mathbf{0}\} \end{pmatrix} \quad \mathbf{B} = \begin{pmatrix} \{\mathbf{0}\} & \{\mathbf{0}\} \\ \varepsilon^{-1}\mathbf{R} & \{\mathbf{0}\} \end{pmatrix} \quad (2)$$

Burada $\{\mathbf{0}\}$ bir 3×3 sıfır matrisi, \mathbf{R} ise 3×3 üç boyutlu (3-D) rotasyonel işleç matrisidir. ε ortamın permittivitesini ve μ ise ortamın permeabilitesini belirtmektedir. \mathbf{A} ve \mathbf{B} birbirleri ile commute (kısacası $\mathbf{AB} \neq \mathbf{BA}$) etmezler ve ayrıca $\mathbf{A}^2 = \mathbf{A}^3 = \dots = 0$, ve $\mathbf{B}^2 = \mathbf{B}^3 = \dots = 0$ dir[4].

Denklem (1) birinci derece doğrusal bir türevsel denklemler sistemini göstermektedir, bu sistemin çözümü,

$$\mathbf{U}(t + \Delta t) = e^{\Delta t(\mathbf{A} + \mathbf{B})} \mathbf{U}(t) \quad (3)$$

dir, Δt zaman artırımını göstermektedir. Denklem (3)'deki üstel işleç, Taylor açılımı ve bununla birlikte \mathbf{A} ve \mathbf{B} 'nin yukarıda bahsedilen özellikleri de kullanılarak aşağıdaki biçimde yazılabilir,

$$e^{\Delta t(\mathbf{A} + \mathbf{B})} = \mathbf{I} + \Delta t(\mathbf{A} + \mathbf{B}) + \frac{\Delta t^2}{2!}(\mathbf{AB} + \mathbf{BA}) + \dots \quad (4)$$

Bir başka açılım ise üstel işleçin ayrıştırılmasından elde edilebilir[4]. Bu açılım $e^{c_p \Delta t \mathbf{A}}$ ve $e^{d_p \Delta t \mathbf{B}}$ çarpımlarından oluşmaktadır. Kısacası,

$$e^{\Delta t(\mathbf{A} + \mathbf{B})} \cong \prod_{p=1}^m (I + c_p \Delta t \mathbf{A})(I + d_p \Delta t \mathbf{B}) + \mathbf{O}((\Delta t)^{n+1}) \quad (5)$$

şeklinde ifade edilebilir. Burada c_p ve d_p belirlenmesi gereken katsayıları, m yaydırıcının aşama sayısını, ve n ise yaklaşım mertebesini ifade etmektedir. Herhangi bir aşama için Denklem (4) ve (5)'deki Δt teriminin katsayıları eşitlendiğinde en temel koşul olan

$$c_1 + c_2 + c_3 + \dots + c_p = 1 \quad (6)$$

$$d_1 + d_2 + d_3 + \dots + d_p = 1 \quad (7)$$

elde edilmektedir. Tasarımın kararlı olabilmesi için büyüme oranının her zaman bire eşit veya birden küçük olması gerekmektedir. Symplectic FDTD'nin büyüme oranı aşağıdaki gibi ifade edilebilir[4],

$$\alpha = \zeta \pm \sqrt{\zeta^2 - 1} \quad (8)$$

$$\zeta = 1 + \left(\frac{1}{2}\right) \sum_{p=1}^m g_p \{-v^2 \Delta t^2 (\eta_x^2 + \eta_y^2 + \eta_z^2)\}^p \quad (9)$$

$$g_p = \sum_{1 \leq i_1 \leq j_1 < i_2 \leq j_2 < \dots < i_p \leq j_p \leq m} c_{i_1} d_{j_1} c_{i_2} d_{j_2} \dots c_{i_p} d_{j_p} \quad (10)$$

$$+ \sum_{1 \leq i_1 < j_1 \leq i_2 < j_2 \leq \dots \leq i_p < j_p \leq m} d_{i_1} c_{j_1} d_{i_2} c_{j_2} \dots d_{i_p} c_{j_p}$$

η_x , η_y , ve η_z 'in ifadeleri [4]'de verilmektedir, v ise ortam içindeki ışık hızını belirtmektedir.

Kolaylıkla gösterilebilir ki; $|\zeta| \leq 1$ olduğu zaman, $|\alpha| = 1$ dir. $|\zeta| \leq 1$ koşulu tasarımın kararlı olmasını ve ayrıca büyüme oranı bire eşit olduğundan dolayı tasarımın yitirgen olmamasını sağlar.

Kararlılık sınırının elde edilebilmesi için η_x , η_y , ve η_z 'in en yüksek değerleri Denklem (9)'daki yerlerine konmalıdır (bu durumda $\zeta_m \cong \zeta$). Daha yüksek kararlılık sınırı elde edilebilmesi için ζ işlevinin katsayıları $|\zeta| \leq 1$ bölgesinin en geniş halini alacak şekilde belirlenmelidir.

Üç boyutlu dördüncü mertebeye uzay yaklaşımı ile birlikte uzay artırımları için $\Delta x = \Delta y = \Delta z = \Delta$ kullanıldığında,

$$\zeta_m = 1 + \left(\frac{1}{2}\right) \sum_{p=1}^m g_p (-3)^p (qs)^{2p} \quad (11)$$

dir. s ($s = v\Delta t/\Delta$) kararlılık faktörünü, q ise $\eta_x \Delta x$, $\eta_y \Delta y$, ve $\eta_z \Delta z$ 'in en yüksek değerlerini belirtmektedir. Dördüncü mertebeye uzay ayırıklaştırması için q 'nün değeri $7/3$ 'dür. Yapılan çalışmalar, en yüksek kararlılık sınırının ζ işlevinin katsayılarının birinci tür Chebyshev çokterimlisinin katsayılarına eşit olduğu zaman elde edildiğini göstermektedir. Chebyshev çokterimlisi aşağıdaki gibi ifade edilmektedir,

$$T_n(x) = 2^{n-1} \prod_{k=1}^n \left\{ x - \cos \left[\frac{(2k-1)\pi}{2n} \right] \right\} \quad (12)$$

Bu çokterimli $|x| \leq 1$ iken $T_n(x) = \cos\{n \cos^{-1}(x)\}$ 'dir ve $|x| > 1$ iken $T_n(x) = \cosh\{n \cosh^{-1}(x)\}$ 'dir, bundan dolayı $|x| \leq 1$ bölgesinde $|T_n(x)| \leq 1$ 'dir ve $|x| > 1$ bölgesinde $|T_n(x)| > 1$ 'dir.

g_p değerlerini ve kararlılık sınırını elde etmek için, aynı mertebedeki ζ_m işlevi ile $T_n(x)$ çokterimlisi n 'nin çift katları ($n=2,4,\dots$) için, $x = t_n s$ kullanılarak, birbirlerine denkleştirilirler. Burada t_n belirlenmesi gereken gerçek bir dönüşüm katsayısını göstermektedir.

Her bir çift üstel işleçli tasarıma denk bir üstel işleç daha fazla bir tek üstel işleçli tasarım vardır. Ancak

işlem sayısı daha az olduğundan çift üstel işleçli tasarımlar tercih edilmiştir.

Tasarım bir örnekle daha iyi açıklanabilir. Üç boyutlu (3-D) 4 veya 5 üstel işleçli bir tasarım için ζ_m dördüncü merteye bir işlemdir.

$$\zeta_m = 1 - (3/2)g_1(qs)^2 + (3^2/2)g_2(qs)^4 \quad (13)$$

Buna karşılık gelen Chebyshev çokterimlisi ($n=4$) şöyledir,

$$T_4(t_4s) = 1 - 8(t_4s)^2 + 8(t_4s)^4 \quad (14)$$

Denklem (6) ve (7)'den faydalanarak $c_1+c_2=1$ ve $d_1+d_2=1$ dir, g_1 ise Denklem (10)'daki tanımından dolayı her zaman $g_1=(c_1+c_2)(d_1+d_2)=1$ dir. Denklem (13) ve (14)'deki s^2 'in katsayıları birbirlerine eşitlendiğinde,

$$t_4 = (\sqrt{3}/4)q \quad (15)$$

olur, ve s^4 'ün katsayıları birbirlerine eşitlendiğinde ise, $g_2=1/16$ olarak bulunur.

$|T_n(x)| \leq 1$ olduğu bölgede x 'in en yüksek değeri $|x|=1$ 'dir, bundan dolayı s 'in en yüksek değeri, başka bir deyişle tasarımın kararlılık sınırı (CLF) $s_{max}=1/t_4=0.9897$ 'dir. Daha yüksek mertebelerdeki ζ işlevleri için s_{max} aynı şekilde bulunabilir. n üstel işleçli tasarım için çift mertebeli Chebyshev çokterimlisindeki x^2 teriminin katsayısı $2^*(n/2)^2$ olduğundan, genel olarak dönüşüm katsayısı,

$$t_n = (\sqrt{3}/n)q \quad (16)$$

ve kararlılık sınırı,

$$s_{max} = 1/t_n \equiv n/(\sqrt{3}q) \quad (17)$$

şeklinde olur. Herhangi bir mertebedeki ζ_m ile $T_n(x)$ 'nin s^4 , s^6 , s^8 , ... katsayıları birbirlerine denkleştirilmesi ile g_2 , g_3 , g_4 , ... değerleri yukardaki örnekte olduğu gibi bulunabilir.

Üstel işleç katsayıları Denklem (10), (6) ve (7) kullanılarak bulunabilir. Herhangi bir çokterimliyi elde etmek için birden fazla çözüm kümesi bulmak mümkündür. Tasarımın kararlılık sınırı ve sayısal saçılımı tamamen ζ işlevine bağlı olduğundan, tasarımın performansı g_p değerleri ile η_x , η_y , ve η_z 'in ifadelerine bağlıdır.

3. TASARIMIN PERFORMANSI

Tasarımın performansını incelemek için 4 aşamalı 8 üstel işleçli bir tasarım seçilmiş ve bu tasarımın performansı [4]'deki 5 aşamalı 9 üstel işleçli tasarım ile karşılaştırılmıştır. 8 üstel işleçli bir tasarımda belirlenmesi gereken 8 katsayı mevcuttur, bunlar $\{c_1, d_1, c_2, d_2, c_3, d_3, c_4, d_4\}$ dür.

Üç boyutlu 8 üstel işleçli bir tasarım için ζ_m sekizinci merteye bir işlemdir, bundan dolayı bu işlemin içerisinde belirlenmesi gereken g_2 , g_3 , g_4 katsayıları bulunmaktadır, burada yine $g_1=1$ 'dir. Buna karşılık gelen Chebyshev çokterimlisi ise $T_8(t_8s)$ dir, burada $n=8$ dir.

n ve q 'nün değerleri Denklem (16)'daki yerlerine konulduğunda, tasarım dönüşüm katsayısı bulunur, daha sonra Denklem (17)'den faydalanarak kararlılık sınırı elde edilir. Dördüncü merteye uzay ayrıklaştırılması için bu tasarımın kararlılık sınırı $s_{max}=1.97948$ 'dir. [4]'deki 5 aşamalı 9 üstel işleçli tasarımın kararlılık sınırı ise 0.743'dür.

g_2 , g_3 , g_4 katsayıları ζ_m ve $T_8(t_8s)$ 'in her bir terimi birbirine eşilenerek bulunabilir. Bu değerler $g_2=5/64$, $g_3=1/512$, ve $g_4=1/65536$ dir.

Denklem (10)'dan da görüleceği gibi g_2 , g_3 , g_4 katsayıları üstel işleç katsayılarına bağlıdır, dolayısıyla sağlanması gereken 3 denklem mevcuttur, diğer sağlanması gereken Denklemler ise (6) ve (7) dir. Toplam denklem sayısı 5 dir, fakat bilinmeyen katsayı adeti ise 8 dir. Eğer katsayılar simetrik hale dönüştürülürse $\{c_1=d_4, d_1=c_4, c_2=d_3, d_2=c_3\}$ olur, ve bilinmeyen katsayı adeti 4'e, öteki taraftan Denklem (6) ise Denklem (7)'ye eşitlendiğinden denklem sayısında 4'e düşer. Bu denklemler şöyledir:

$$c_1 + c_2 + d_2 + d_1 = 1 \quad (18)$$

$$g_2 = \left\{ \begin{array}{l} 2c_1d_1c_2(c_1 + c_2 + d_2) + \\ d_2(2c_1d_1 + c_1d_2 + c_2d_2)(c_1 + c_2) \\ + 2c_2d_1d_2(d_1 + d_2) + d_1^2(c_1^2 + c_2^2) \end{array} \right\} \equiv \frac{5}{64} \quad (19)$$

$$g_3 = \left\{ \begin{array}{l} 2c_1d_1c_2d_2^2(c_1 + c_2) + c_1^2d_1^2c_2 \\ (c_2 + d_2) + d_1^2d_2c_2(c_1^2 + c_2d_2) \end{array} \right\} \equiv \frac{1}{512} \quad (20)$$

$$g_4 = c_1^2d_1^2 + c_2^2d_2^2 \equiv \frac{1}{65536} \quad (21)$$

Bu denklemleri sağlayan birden fazla çözüm kümesi bulunabilir; eğer katsayıların tamamı gerçek bir sayı ve ayrıca bire eşit veya küçük ise bunların hangisinin

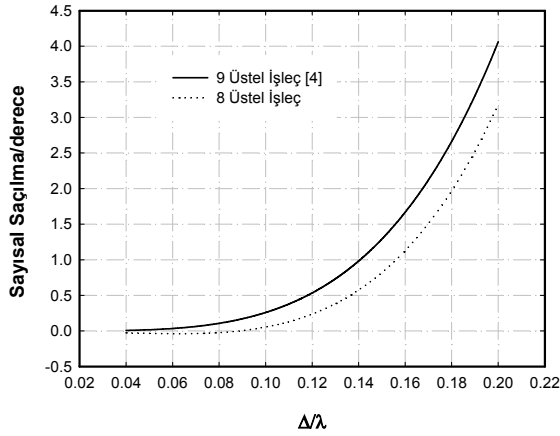
kullanılacağı önemli değildir. Yukarıdaki 4 denklem MAPLE 7 programı kullanılarak çözülmüştür ve tüm elemanları gerçek sayı olan 23 çözüm kümesi elde edilmiştir. Bu kümelerden bir tanesinde katsayıların tümü 1/4'e eşittir.

Sayısal saçılmayı bulmak için $\cos(2\pi/\Delta t)$ Denklem (9)'a eşitlenmiştir[4], f dalga frekansını belirtmektedir.

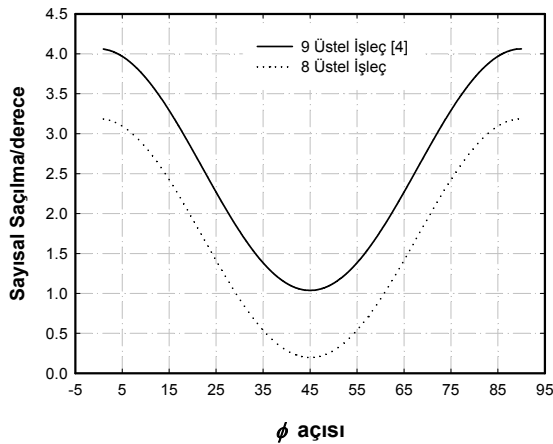
Şekil 1 ve Şekil 2, üç boyutlu düz dalga yayılımı kullanılarak 4 aşamalı 8 üstel işleçli ile 5 aşamalı 9 üstel işleçli[4] Symplectic FDTD tasarımları için elde edilen sayısal saçılım performansını göstermektedir. Burada sayısal saçılım

$$360\left(\left(k/\tilde{k}\right)-1\right) \quad (22)$$

derece olarak tanımlanmıştır. k dalga sayısını \tilde{k} ise sayısal dalga sayısını göstermektedir.



Şekil 1 Sayısal saçılımın Δ/λ^3 'ya göre değişimi ($\theta=90^\circ$, $\phi=0^\circ$, $s=0.74$)



Şekil 2 Sayısal saçılımın ϕ açısına göre değişimi ($\Delta=\lambda/5$, $\theta=90^\circ$, $s=0.74$).

θ ve ϕ küresel koordinat sistemindeki açıları, λ ise dalga boyunu göstermektedir.

Bu şekillerden görüleceği gibi bu bildiride sunulan tasarım yüksek kararlılık sınırına ek olarak daha düşük sayısal saçılım sağlamaktadır.

4. SONUÇ

Symplectic FDTD tasarımında bulunan üstel türevsel işleçlerin katsayılarının bulunmasında yeni bir yöntem ortaya konmuştur. Üstel işleç katsayılarının bulunması için gereken denklemler büyüme oranını etkileyen bir işlemin içerisindeki katsayıların denklemlerinden faydalanılmıştır. Bu işlemin içerisindeki katsayılar Chebyshev çokterimlisi kullanılarak bulunmuştur. Chebyshev çokterimlisi kullanılarak elde edilen tasarımlarda kararlılık sınırının üstel işleç sayısı ile doğru orantılı olduğu gösterilmiştir. Bu kararlılık sınırı daha önce yayınlanmış Symplectic FDTD tasarımının kararlılık sınırının oldukça üzerindedir. Ayrıca elde edilen yeni tasarımın sayısal saçılımı da daha düşüktür. Üstel işleç sayısı düşürüldüğü takdirde işlem sayısı azalacağından merkezi işlem birimi (CPU) zamanı da azalır. Sayısal modellemesi yapılan elektromanyetik problemin özelliklerine göre üstel işleç sayısı istenilen şekilde seçilebilir.

KAYNAKLAR

- [1] Yee K. S., Numerical solution of initial boundary value problem involving Maxwell's equation in isotropic media, IEEE TRANSACTIONS ON ANTENNAS AND PROPAGATION, Vol 14, Iss 3, pp 302-307, 1966.
- [2] Shlager K. L., Moloney J. G., Ray S. L., Peterson A. F., Relative accuracy of several finite-difference time-domain method in two and three dimensions, IEEE TRANSACTIONS ON ANTENNAS AND PROPAGATION, Vol 41, Iss 12, pp 1732-1737, 1993.
- [3] Young J. L., Gaitonde D., Shang J. J. S., Toward the construction of a fourth-order difference scheme for transient EM wave simulation: Staggered grid approach, IEEE TRANSACTIONS ON ANTENNAS AND PROPAGATION, Vol 45, Iss 11, pp 1573-1580, 1997.
- [4] Hirono T., Lui W., Seki S., Yoshikuni, Y., A three-dimensional fourth-order finite-difference time-domain scheme using a symplectic integrator propagator, IEEE TRANSACTIONS ON MICROWAVE THEORY AND TECHNIQUES, Vol 49, Iss 9, pp 1640-1648, 2001.